(12)特許協力条約に基づいて公開された国際出願

(19) 世界知的所有権機関 国際事務局



# 

(43) 国際公開日 2004 年1 月8 日 (08.01.2004)

**PCT** 

(10) 国際公開番号 WO 2004/003276 A1

(51) 国際特許分類<sup>7</sup>: 1/72, D01F 9/08, F01N 3/28 D04H 1/42,

VV C 2004/0032

(21) 国際出願番号:

PCT/JP2003/008135

(22) 国際出願日:

2003 年6 月26 日 (26.06.2003)

(25) 国際出願の言語:

日本語

(26) 国際公開の言語:

日本語

(30) 優先権データ: 特願2002-190348 2002 <del>5</del>

2002年6月28日(28.06.2002) 月

(71) 出願人 (米国を除く全ての指定国について): 電 気化学工業株式会社 (DENKI KAGAKU KOGYO KABUSHIKI KAISHA) [JP/JP]; 〒100-8455 東京都 千 代田区 有楽町 1 丁目 4 番 1 号 Tokyo (JP). (72) 発明者; および

- (75) 発明者/出願人 (米国についてのみ): 大橋 寛之 (OHASHI,Hiroyuki) [JP/JP]; 〒949-0393 新潟県 西頸城郡 青海町大字青海2209番地 電気化学工業株式会社 青海工場内 Niigata (JP). 斎藤 智夫 (SAITO,Tomoo) [JP/JP]; 〒949-0393 新潟県 西頸城郡青海町大字青海2209番地電気化学工業株式会社青海工場内 Niigata (JP). 藤 浩一 (FUJI,Koichi) [JP/JP]; 〒949-0393 新潟県 西頸城郡青海町大字青海2209番地電気化学工業株式会社青海工場内 Niigata (JP).
- (74) 代理人: 泉名 謙治, 外(SENMYO,Kenji et al.); 〒 101-0042 東京都 千代田区 神田東松下町 3 8 番地 鳥 本鋼業ビル Tokyo (JP).
- (81) 指定国 (国内): AE, AG, AL, AM, AT, AU, AZ, BA, BB, BG, BR, BY, BZ, CA, CH, CN, CO, CR, CU, CZ, DE, DK,

/続葉有]

(54) Title: <u>INORGANIC STAPLE FIBER ACCUMULATION FOR HOLDING MATERIAL, PROCESS FOR PRODUCING THE</u> SAME AND HOLDING MATERIAL

(54) 発明の名称: 保持材用無機質短繊維集積体、その製造方法、及び保持材

(57) Abstract: An accumulation whose fiber deterioration is low even at long-term compression holding performed while heating at about 1000°C; and a holding material, such as a catalyst support of catalyst converter or a honeycomb body of DPE, comprising the accumulation. In particular, an inorganic staple fiber accumulation for holding material, comprising an accumulation of inorganic staple fibers whose chemical composition comprises 74 to 86 mass% of alumina component and 26 to 14 mass% of silica component and whose mineral composition comprises 15 to 60 mass% of mullite, wherein the accumulation exhibits an average fiber diameter of 2 to 8  $\mu$  m, 99% or more (including 100%) of the fiber count composed of fibers of 1.5 to 15  $\mu$  m diameter, and exhibits a specific surface area of 10 m²/g or less; a process for producing the same; and a holding material comprising a sheet molding comprising the accumulation having an organic binder incorporated therein characterized in that the inorganic staple fibers are employed.

(57) 要約:

1000 ℃程度の加熱下で長期の圧縮保持でも繊維劣化の小さい集積体と、それを用いた触媒コンパータの触媒担体やDPEのハニカム体等の保持材を提供する。化学組成がアルミナ成分74~86 質量%で、シリカ成分26~14 質量%であり、鉱物組成がムライト15~60 質量%を含む無機質短繊維の集積体からなり、該集積体の平均繊維径が $2~8~\mu$ mで、本数の99%以上(100%を含む)が繊維径 $1.5~15~\mu$ mの繊維で構成されており、比表面積が $10~m^2$  / g以下である保持材用無機質短繊維集積体。その製造方法、及びこの集積体に有機パインダーを含有させたシート状成形体からなる保持材であり、しかも無機質短繊維のことを特徴とする。



DM, DZ, EC, EE, ES, FI, GB, GD, GE, GH, GM, HR, HU, ID, IL, IN, IS, JP, KE, KG, KR, KZ, LC, LK, LR, LS, LT, LU, LV, MA, MD, MG, MK, MN, MW, MX, MZ, NI, NO, NZ, OM, PH, PL, PT, RO, RU, SC, SD, SE, SG, SK, SL, TJ, TM, TN, TR, TT, TZ, UA, UG, US, UZ, VC, VN, YU, ZA, ZM, ZW.

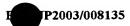
(84) 指定国(広域): ARIPO 特許 (GH, GM, KE, LS, MW, MZ, SD, SL, SZ, TZ, UG, ZM, ZW), ユーラシア特許 (AM, AZ, BY, KG, KZ, MD, RU, TJ, TM), ヨーロッパ特許 (AT, BE, BG, CH, CY, CZ, DE, DK, EE, ES, FI, FR, GB,

GR, HU, IE, IT, LU, MC, NL, PT, RO, SE, SI, SK, TR), OAPI 特許 (BF, BJ, CF, CG, CI, CM, GA, GN, GQ, GW, ML, MR, NE, SN, TD, TG).

#### 添付公開書類:

#### 一 国際調査報告書

2文字コード及び他の略語については、定期発行される 各PCTガゼットの巻頭に掲載されている「コードと略語 のガイダンスノート」を参照。



### 明細書

保持材用無機質短繊維集積体、その製造方法、及び保持材

## 技術分野

本発明は、保持材用無機質短繊維集積体、その製造方法、及び保持材に関する。本発明が対象とする保持材としては、自動車排気ガス浄化用触媒コンバータ(以下、触媒コンバータという。)用触媒担体の固定用保持材、ディーゼルパティキュレートフィルタ(以下、DPFという。)用ハニカム体の固定用保持材、更には高温耐火物用の目地材等である。

### 背景技術

従来、触媒コンバータは、内燃機関からの排気ガス中に含まれるCO、NOx等の有害成分を無害化させるのに使用されている。触媒コンバータの構造は、触媒担体とこの触媒担体の外側を覆う金属製シェルとの間に保持材が配置されてなるものであり、保持材の役割は触媒担体の振動等による破損防止と排気ガスのリーク防止等である(特開平11-82006号公報)。保持材は、燃費向上のための排気ガス高温化への対応、長時間の使用安定性等の観点から、アルミナ質繊維積層体が普及しつつある(特開平7-286514号公報)。

近年、排気ガスの高温化は一段と進み、また実用化が進みつつあるDPFにおいては、捕集されたパティキュレートを1000℃程度で焼失させなければならないため、保持材にはこれまで以上に高温下における耐久性が要求される。加えて、排気ガスによる風蝕に対しても耐久性が要求される。

一方、アルミナ質繊維の耐熱温度は、加熱下での繊維の収縮率等から、1300~1700℃程度とされており、1000℃程度の雰囲気での使用には十分に対応できると考えられていた。ところが、本発明者らは、DPFの保持材のように、1000℃程度の加熱下で長期に圧縮力が加わるような場合には、疲労破壊やクリープ現象等に由来すると考えられる繊維の劣化が予想以上に著しく進んでいることを見いだした。このため、外見では異常が認められなくても、保持材の微細劣化によって復元力(反発圧力)が小さくなっており、ハニカム等を十分な

反発圧力を持って保持することができず、その部分から排気ガスがリークする恐れがあった。さらには、排気ガスに保持材が長時間さらされることにより、保持材が徐々に風蝕され、ハニカム等と保持材との間に隙間ができ、排気ガスのリークやハニカム等が抜け落ちる恐れがあった。

本発明の目的は上記に鑑み、1000℃程度の加熱下で長期に圧縮力が加わるような場合でも、繊維劣化が小さく、かつ耐風蝕性に優れた保持材を提供することである。

本発明の他の目的は、その保持材を製造するのに用いられる無機質短繊維集積体とその製造方法を提供することである。

#### 発明の開示

本発明の上記の目的は、集積体が特定の比表面積を有し、かつ集積体を構成する無機質短繊維の所定数以上が特定の繊維径を有し、しかも、該無機質短繊維が特定の化学組成を有し、かつ平均繊維径が特定の範囲にある集積体を使用することによって達成されることが見出された。また、該無機質短繊維集積体は、特定組成の紡糸原液を特定構造の中空円盤から特定条件で吐出して繊維化し、それを特定条件で乾燥・集積・焼成することにより製造されることが見出された。

かくして、本発明は、以下の要旨を有することを特徴とする。

- (1) 無機質短繊維の集積体であって、その比表面積が $10m^2$  / g以下であり、かつその99%以上(100%を含む)の本数が繊維径 $1.5~15\mu$ mの無機質短繊維からなり、しかも無機質短繊維の化学組成がアルミナ成分74~86質量%で、シリカ成分26~14質量%であり、鉱物組成がムライト15~60質量%であり、平均繊維径が $2~8\mu$ mであることを特徴とする保持材用無機質短繊維集積体。
- (2)集積体50gを直径80mm×深さ150mmのステンレス製円筒容器に入れ、その上面から圧力をかけていき、20MPaに達したら解放して、圧砕された無機質短繊維集積体の水簸分級を行ったときに、回収される繊維等の固形物が、水の流量0.501/minのときが10質量%以下、流量1.381/minのときが5質量%以下、流量5.541/minのときが1質量%以下である上記(1)に記載の集積体。

- (3) 集積体 5 gを 4 0 0 m l の水中で、1 0 0 0 r pmで 1 0 m i n 攪拌した後、5 0 0 m l のメスシリンダーに移し、水を追加して全容積を 5 0 0 m l にしてから 3 0 分間静置し、その沈降容積から求めた、繊維強度の指標である水中カサ比重が 0 . 0 1 2  $\sim$  0 . 0 2 5 である上記 (1) 又は (2) に記載の集積体。
- (4) 透過率80%以上のオキシ塩化アルミニウム水溶液と、透過率75%以上のシリカゾルと、紡糸助剤とを混合して、アルミナ:シリカの質量比が74~86%:26~14%(両者の合計100%)で、粘度が1000~8000mPa・sの紡糸原液を調製し、これを円周面に直径0.10~0.30mmの孔を複数個設けられてなる中空円盤から、該中空円盤を周速30~80m/secで回転させつつ、紡糸原液を1孔あたり8~20ml/hrで供給・吐出させて繊維化し、それを乾燥・集積・焼成することを特徴とする上記(1)、(2)又は(3)に記載の集積体の製造方法。
- (5) 焼成が、連続炉を用い、その前半部において、炉内の風速が $1\sim5\,\mathrm{m/s}$  e c の条件下で、室温から $800\sim1000\,\mathrm{C}$ まで $10\sim20\,\mathrm{C/m}$  i nで昇温した後、続けて連続炉の後半部において、最高温度 $1200\sim1300\,\mathrm{C}$ まで  $20\sim30\,\mathrm{C/m}$  i nで昇温し、最高温度で $15\sim30\,\mathrm{O}$ 間保持して行うものである上記(4)に記載の製造方法。
- (6)上記(1)、(2)又は(3)に記載の集積体の空隙部に、有機質バインダーを含有させたシート状成形体からなることを特徴とする保持材。
- (7)保持材が、自動車排気ガス浄化用触媒コンバータの触媒担体の固定用保持材、又はディーゼルパティキュレートフィルタ用ハニカムの固定用保持材である上記(6)に記載の保持材。

#### 発明を実施するための形態

以下、更に詳しく本発明について説明する。

本発明の保持材用無機質短繊維集積体(以下、単に、集積体ともいう。)を構成する無機質短繊維の化学組成は、アルミナ成分が74~86質量%、好ましくは78~82質量%であり、シリカ成分が26~14質量%、好ましくは22~18質量%である。このような化学組成は、紡糸原液調製時のオキシ塩化アルミニウム水溶液とシリカゾルとを、所望するアルミナ/シリカ比に混合すること

によって達成することができる。このような化学組成にすることにより、耐熱性が高く、高温排気ガスによる劣化も少なくなり、この集積体で製造された保持材は、圧縮力が印加された際、その反発圧力が大きくなると共に、排気ガスによる風蝕が抑えられるため、保持材の緩衝機能、触媒担体やハニカムの保持性能が向上する。ここで、アルミナ成分とシリカ成分の合計は100質量%であることが好ましいが、 $Fe_2O_3$ 、 $Na_2O$ 、CaO等を合計で1質量%未満まで許容できる

また、無機質短繊維の鉱物組成は、ムライト15~60質量%、好ましくは20~40質量%であり、残部はアルミナ、シリカに由来するスピネル型化合物、中間アルミナ、結晶性の低いシリカ鉱物、非晶質等の一種又は二種以上である。ムライトが15質量%未満であると、1000℃程度の加熱下、長期の圧縮保持での反発圧力は著しく低下する。また、60質量%を超えると、無機質短繊維の脆性的性質が顕著になって破壊が起こりやすくなり、また、排気ガスによる保持材の風蝕が顕著になり、保持材の緩衝機能が劣化しやすくなる。鉱物組成は、集積体の前駆体繊維の最高焼成温度を変えることによって調整することができる。ここで、ムライトの測定は、CuKα線によるX線回折法によってムライトのピーク強度を求め、既知のムライト組成アルミナ短繊維のピーク強度で作成した検量線から求めることができる。

また、無機質短繊維の平均繊維径が  $2\sim 8~\mu$  mであることが必要である。平均繊維径が  $2~\mu$  m未満であると、それを用いて製造された保持材の厚み方向に圧縮を行った場合の反発圧力が小さくなり、ハニカム等の保持力が不十分となる。また、平均繊維径が  $8~\mu$  mを超えると、無機質短繊維の脆性的性質が顕著になって破壊が起こりやすくなり、さらには保持材の単位体積あたりの無機質短繊維の本数が少なくなることで、反発圧力が著しく低下し、ハニカム等の保持力が不十分となる。好ましい平均繊維径は  $2.5\sim 5~\mu$  mである。ここで、平均繊維径とは、1000 本以上の無機質短繊維のSEM写真から計測した繊維径の平均値として定義される。

本発明の集積体は、上記無機質短繊維の集合物であり、比表面積が10m²/g以下であり、しかも、本数の99%以上(100%を含む)が繊維径1.5~15μmの無機質短繊維から構成されている。

集積体の比表面積が $10\,\mathrm{m}^2$  / gを超えると、無機質短繊維の脆性的性質が顕著になって、ハニカム等の保持力が不十分となる。また、後述する水中力サ比重も大きくなる。好ましい比表面積は $5\,\mathrm{m}^2$  / g以下である。ここで、比表面積はBET法により測定される。

集積体の無機質短繊維の本数の99%以上(100%を含む)が繊維径1.5  $\sim$ 15 $\mu$ mで構成されていないと、すなわち集積体を構成している無機質短繊維の繊維径が1.5 $\mu$ m未満と15 $\mu$ m超の合計が1質量%未満でないと、ハニカム等の保持力に機能しない繊維が多く含まれることとなり、それを用いて製造された保持材の厚み方向に圧縮を行った場合の反発圧力が小さくなり、ハニカム等の保持力が不十分となる。また、無機質短繊維の脆性的性質が顕著になって保持材の緩衝機能の劣化が起こりやすくなる。なかでも、無機質短繊維の本数の99%以上(100%を含む)が繊維径2 $\sim$ 10 $\mu$ mで構成されていることが特に好ましい。かかる無機質短繊維の本数99%以上(100%を含む)の繊維径は、1000本以上の無機質短繊維のSEM写真から計測することができる。

集積体の上記繊維径の本数の調整は、後述される本発明の集積体の製造方法において、紡糸原液の粘度1000~8000mPa・s、中空円盤の円周に設けられる孔の直径0.1~0.3mm、1孔あたりの供給・吐出量8~20m1/hr、中空円盤の周速30~80m/secの範囲内において、それらの因子の一又は二以上を制御することによって行うことができる。また、比表面積の調整は、焼成前の無機質短繊維の集積体(以下、「前駆体繊維」ともいう。)を、連続炉の前半部において、炉内の風速が1~5m/secの条件下で、室温から800~1000℃まで10~20℃/minで昇温し、これによって主として水分、塩素、紡糸助剤等を除去し、その後、続けて連続炉の後半部において、最高温度1200~1300℃まで20~30℃/minで昇温し、その最高温度で15~30分間保持する際、それらの因子の一又は二以上を制御することによって行うことができる。

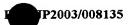
上記のような集積体のなかでも、試料50gを直径80mm×深さ150mm のステンレス製円筒容器に入れ、その上面に板を置いて圧力をかけていき、20 MPaに達したら解放して、圧砕された集積体の水簸分級(沈降分級法の一種)を行ったときに、回収される繊維等の固形物が、水の流量0.501/minの

ときが好ましくは10質量%以下、流量1.381/minのときが好ましくは5質量%以下、流量5.541/minのときが好ましくは1質量%以下であるものが好適であることが判明した。特に、それぞれ、水の流量1.381/minのときに回収される固形物が1質量%以下、流量5.541/minのときが0.1質量%以下であるものが好適である。

ここで、水の流量 0.501 /m i n とは、球形  $30\mu$  mに相当する分級点であり、流量 1.381 /m i n とは球形  $50\mu$  m、流量 5.541 /m i n とは球形  $100\mu$  mに相当する分級点である。この手法を用いることで、集積体を構成している無機質短繊維の繊維径分布を容易に評価することが可能となり、各水の流量における回収物量が少ないものほど、ハニカム等の保持力が高まったものとなる。このような好適な集積体は、後述される本発明の集積体の製造方法において、特に紡糸原液の粘度を 1000 000

さらに、上記のような集積体のなかでも、集積体5gを400mlの水中で、 攪拌機を用いて1000rpmで10min攪拌した後、500mlのメスシリンダーに移し、水を加えて全容積を500mlにしてから、30分間静置し、その沈降容積から求めた、繊維強度の指標である水中カサ比重が好ましくは0.0 12~0.025であり、特に好ましくは0.013~0.020であるものが好適であることが判明した。ここで、試料5gの計量は、集積体の幅方向に均等間隔に、1箇所あたり、幅15mm×長さ50mm×厚さが上層から下層までの自形、の寸法の試料を4箇所カッターナイフ等で切り出し、これらの合計が5gとなるように、これらの4試料を組み合わせ行う。

集積体の水中力サ比重が 0.025を超えると繊維強度が弱くなり、このような集積体から作製したシート状成形体の保持材は、排気ガスにより風蝕されやすくなり、ハニカム等との間に隙間ができ、排気ガスのリークや、ハニカム等が抜け落ちる恐れがある。また、水中力サ比重が 0.012未満だと、繊維強度が強くなり過ぎ、集積体をシート状に成形する際、解綿が不均一になるため、シート状成形体の厚みにムラができ、ハニカム等の保持力が不十分となる。集積体の水中力サ比重の調整は、後述される本発明の集積体の製造方法において、紡糸原液の粘度とその 1 孔あたりの供給・吐出量、中空円盤の周速、前駆体繊維の焼成条



件の一又は二以上を制御することによって行うことができる。

次に、本発明の集積体の製造方法について説明する。

まず、アルミナ分として透過率80%以上のオキシ塩化アルミニウム水溶液、シリカ分として透過率75%以上のシリカゾルを用い、その成分割合がアルミナが好ましくは74~86質量%、特に好ましくは77~82質量%であり、シリカが好ましくは26~14質量%、特に好ましくは22~18質量%となるように両者を混合し、さらに紡糸助剤を添加して、粘度が好ましくは1000~8000mPa・sの紡糸原液を調製する。紡糸助剤は、アルミナ、シリカ成分を含む溶液に粘度を与え、粘性を持たせるものであり、例えば、ポリビニルアルコール、でんぷん、ポリエチレンオキサイド、ポリエチレングリコール等が用いられる。

オキシ塩化アルミニウムの透過率が80%未満、又はシリカゾルの透過率が75%未満であると、無機質短繊維の脆性的性質が顕著になって、保持材の緩衝機能の劣化が起こりやすくなるほか、紡糸原液のゲル化が起き、また集積体を構成している無機質短繊維中に粗大な結晶が多く含まれることになり、水中カサ比重が著しく大きくなる。また、所望の鉱物組成にする際の焼成温度が非常に不安定になり、温度制御が困難になる。透過率は、吸光光度法により測定される。

また、紡糸原液の粘度が1000mPa·s未満では紡糸性が劣り、ショット発生の原因となり、8000mPa·sを超えると、無機質短繊維の平均繊維径が著しく太くなり、しかも水中力サ比重も大きくなる。好ましい紡糸原液の粘度は、 $1500\sim600$ mPa·sである。

次いで、この紡糸原液を、円周面に直径 $0.1\sim0.3$ mmの孔を複数個設けられた中空円盤内に、1 孔あたり $8\sim20$  m 1 / h r で供給し、そこから吐出させることによって繊維化させる。この繊維化には、中空円盤を周速 $30\sim80$  m / s e c で回転させることによって行われる。1 孔あたりの供給・吐出量は、中空円盤に供給される紡糸原液の1 時間あたりの供給量を、中空円盤の円周面上に設けられた孔数で割ることで算出される。

ここで、上記孔の直径が $0.1\sim0.3$  mmの範囲を超えると所望の繊維径とすることが困難となり、また紡糸性が劣りショット発生の原因となる。好ましい孔の直径は $0.2\sim0.28$  mmである。また、1 孔あたりの供給量が8 m 1 /

hr未満であるか、回転円盤の周速が $30\,m/sec$ 未満であると、紡糸性が劣ってショット発生の原因となり、また1 孔あたりの供給量が $20\,m1/hr$  を超えると無機質短繊維の平均繊維径が著しく太くなり、また水中力サ比重も大きくなる。一方、回転円盤の周速が $80\,m/sec$ を超えると、繊維が必要以上に細くなると共に、操業上の困難性も伴いやすくなる。1 孔あたりの供給量は好ましくは $10\sim18\,m1/hr$  であり、また、回転円盤の周速は好ましくは $40\sim60\,m/sec$ である。孔数は、好ましくは $200\,m/sec$ 

孔から飛び出した液糸は、乾燥されながら集綿室で集積されて前駆体繊維となり、その後焼成されて本発明の集積体となる。乾燥は150~600℃の熱風により行うことが好ましい。集積は、空気中に浮遊している液糸の乾燥物を集綿室の下方から吸引することによって行うことができる。

個以上であることが生産性の点で好適である。

焼成は、前駆体繊維をローラーハウス炉やウォーキングビーム炉等の連続炉を用い、大気雰囲気下で行われる。まず、連続炉の前半部において、炉内風速が好ましくは $1\sim5\,\mathrm{m/s}$  e c の条件下で、室温から $800\sim1000\,\mathrm{C}$ までを好ましくは $10\sim20\,\mathrm{C/m}$  i n で昇温し、これによって主として前駆体繊維の水分、塩素、紡糸助剤等を除去した後、続けて連続炉の後半部において、最高温度 $1200\sim1300\,\mathrm{C}$ までを好ましくは $20\sim30\,\mathrm{C/m}$  i n で昇温し、この最高温度で好ましくは $15\sim30\,\mathrm{O}$ 間保持することによって行われる。

ここで、炉内風速が1m/sec未満だと、除去された塩素や紡糸助剤中の有機成分等が炉内に滞留し、繊維物性に悪影響を与え、炉内風速が5m/secを超えると、炉内の温度制御が困難になる。また、連続炉前半部の焼成温度が800元未満だと、紡糸助剤中に含まれる有機成分が完全に除去されず、その後の連続炉後半部において最高温度で焼成すると比表面積や水中力サ比重が著しく悪くなる。また、前半部の焼成温度が1000℃以上だと、連続炉前半部の炉長を必要以上に長くする必要がある。一方、連続炉前半部の昇温速度が10℃/min未満だと、所望とする温度を達成するには連続炉前半部の炉長を必要以上に長くする必要があり、また昇温速度が30℃/minを超えると、急激な加熱により前駆体中の有機成分が発火し、比表面積や水中力サ比重を著しく悪化させる。

さらに、連続炉後半部の最高温度が1200~1300℃の範囲を超えると、

ムライトを所望の結晶化度にするのが困難になる。また、連続炉後半部の昇温速度が20℃/min未満だと、所望とする温度を達成するには連続炉後半部の炉長を必要以上に長くする必要があり、昇温速度が0℃/minを超えると、急激な加熱により集積体の厚さ方向にムライトの結晶化度のムラができる恐れがある。一方、最高温度における保持時間が15分未満だと、集積体の厚さ方向にムライトの結晶化度のムラができる恐れがあり、30分を超えると続炉後半部の炉長を必要以上に長くする必要がある。

本発明の保持材について説明する。本発明の保持材は、本発明の集積体が有する空隙部に有機質バインダーを含有させたシート状成形体からなるものである。これによって、有機質バインダーによって拘束されていた集積体が、使用中の加熱による有機質バインダーの焼失によって解かれ、集積体が厚み方向に膨張して反発圧力を発生する。この反発圧力によって、DPFのハニカムや、触媒コンバータの触媒担体等を保持し、ハニカムや触媒担体等のずれ、脱落破損等を軽減させることができる。

有機質バインダーを集積体の空隙部に含有、又は存在させるには、抄造法が好ましい。抄造法では、丸網抄造機、長網抄造機等の連続抄造設備を用いる方法、抄造ボックスにスラリーを流し込むバッチ抄造法式、スラリーから平網で漉き上げる方式等を採用することができる。この際の有機質バインダーの混合は、予め無機短繊維と有機質バインダーを所定量混ぜてスラリーを抄造するか、無機質短繊維のみのスラリーを抄造しケーキとした後、その上方から有機質バインダーを含む溶液をスプレーし下方より吸引するか、又はその両者を併用することなどによって行うことができる。

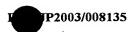
ケーキの乾燥は、乾燥後の所望の厚みの40~100%に相当するクリアランスで保持して圧縮力をかけながら行うことが好ましい。バッチ式では、2枚の穴あき板の間に抄造ケーキと一定の板間隔を確保するためのライナーを挟み込み、乾燥機中で乾燥する方法など、連続式では、トンネル型乾燥機内に一定間隔で上下ローラーを設置し、この間に抄造ケーキを通して乾燥する方法など、が採用される。

有機質パインダーの含有量は、好ましくは $0.5 \sim 10$ 質量%、特に好ましくは $3 \sim 6$ 質量%であることが好ましい。これによって、触媒コンパータやDPF

等が自動車の排気ガス等によって有機質バインダーが燃焼・焼失した際、保持材の厚み方向に膨張し、集積体の反発圧力が容易に発現する。有機質バインダーの含有量が0.5質量%未満ではこの効果が小さく、また10質量%を超えると、有機質バインダーは不完全燃焼の状態で焼失して、還元性ガスが発生し、自動車の排気系に設置されている各種センサー類の誤作動を起こさせる恐れがあるので、別途対応が必要となる。

有機質バインダーとしては、好ましくは700℃以下、特に好ましくは200 ~500℃の温度で焼失し、しかも集積体の反発圧力を抑え込むような粘着力を 有するものが好ましい。例示すれば、アクリルエマルジョン、アクリルスチレン エマルジョン、酢酸ビニルエマルジョン、酢酸ビニル・ベオバエマルジョン、E VA (エチレン・酢酸ビニル共重合体) エマルジョン、エチレン・酢酸ビニル・ 塩化ビニルエマルジョン、酢酸ビニル・アクリルエマルジョン、ポリエチレンエ マルジョン、塩化ビニルラテックス、エチレン・塩化ビニルラテックス、塩化ビ ニリデンラテックス、ポリスチレンエマルジョン、ウレタンエマルジョン、ポリ エステルエマルジョン、エポキシエマルジョン、天然ゴムラテックス、ポリブタ ジエンラテックス、SBR(スチレン・プタジエン系共重合体)ラテックス、N BR(アクリルニトリル・ブタジエン系共重合体)ラテックス、MBR(メチル メタクリレート・ブタジエン系共重合体)ラテックス、VP (2-ピニルピリジ ン・スチレン・ブタジエン系共重合体)ラテックス、クロロプレンラテックス、 IR (イソプレンゴム) ラテックス、ポリビニルアルコール、でんぷん等である 。好ましくは、アクリルエマルジョン、変性アクリル系のエマルジョン、NBR ラテックスであり、粘着力が高く、組み付け時の保持材の柔軟性も確保すること ができる。

なお、抄造スラリーは、無機質短繊維と媒体を混合し流動化させることによって調製される。媒体としては、水、有機媒体又はその両方が用いられる。有機媒体としては、メチルアルコール、エチルアルコール、イソプロピルアルコール等のアルコール類、ベンゼン、トルエン等の芳香族炭化水素類、アセトン、クロロホルム等の脂肪族系溶剤、テトラヒドロフラン等の複素環状系溶剤などが使用される。スラリー濃度、すなわちスラリー中の無機質短繊維の含有割合は、好ましくは0.025~0.7質量%、特に好ましくは0.2~0.5質量%であるこ



とが好適である。スラリー濃度が低すぎると生産性が悪くなり、高すぎるとスラリー中の繊維の分散が悪くなる。スラリー濃度がこの範囲にある場合、スラリー 中の繊維の分散が良好となるため、保持材の各部における繊維量が均一となる。

本発明の保持材は、触媒コンバータの触媒担体の固定用保持材、DPFのハニカムの固定用保持材はもとより、高温耐火物用の目地材等としても使用することができる。

## 実施例

以下、実施例、比較例を挙げてさらに具体的に本発明を説明する。 実施例1~3、比較例1、2

アルミナ分として透過率90%のオキシ塩化アルミニウム水溶液、シリカ分として透過率90%のシリカゾルを用い、アルミナ70~98質量%、シリカ30~2質量%(両者の合計100質量%)となるように両者を混合し、さらに紡糸助剤としてポリビニルアルコールを添加して、粘度5000mPa・sの紡糸原液を調製した。

この紡糸原液を、円周面に直径0.25mmの孔を300個設けた直径150mmの中空円盤内に、1孔あたり15ml/hrで供給し、この円盤を周速50m/secで回転させることにより紡糸原液を繊維化(液糸)し、300℃の熱風により乾燥させながら集綿室の下部より吸引して集積し、前駆体繊維を製造した。その後、これを、ローラーハウス炉の前半部において、風速3m/secの条件下で、室温から900℃まで15℃/minで昇温し、続いて連続炉後半部において、最高温度1250℃まで25℃/minで昇温した後、最高温度で20分間保持して焼成を行い、表1に示される集積体を製造し、縦25mm×横25mmに切断した。

なお、耐風蝕性の評価として水中力サ比重測定を行い、使用した攪拌機はSHIBATA社製、商品名PROMIX PR-1200(4枚羽、翼径75mm)である。また、鉱物組成の残部が、アルミナ、シリカに由来するスピネル型化合物、中間アルミナ、結晶性の低いシリカ鉱物、非晶質等の一種又は二種以上であることを、CuKα線によるX線回折によって確認された。

次いで、この切断した集積体650gに水129kgを加え、低速の攪拌を行って、無機質短繊維濃度0.5質量%のスラリーを調製し、その全量を底面網部

の寸法が900mm×600mmの抄造ボックスに流し込み、底面網の下方より吸引により水を抜き抄造ケーキを製造した。吸引を続けながら、ケーキの上方より有機質バインダーとして、NBRラテックス(日本ゼオン社製商品名「Nipol1312」)をスプレーし、ケーキ全体に染みこませた。

その後、これを2枚のステンレス製パンチングプレート(寸法:950mm×650mm×5mm、穴径:3mm、穴ピッチ:6mmの並列開き)の間に挟み、両側からクランプで押さえつけて抄造ケーキの厚みを6mmに固定したまま熱風乾燥機にて100℃で3時間乾燥して保持材を作製した。NBRラテックスの含有率は、NBR純分で6質量%であった。

得られた保持材の性能評価をするため、電気炉にて700℃で焼成しバインダーを除去し、圧縮嵩密度(G. B. D)が0.15 g/c m³、0.30 g/c m³、0.45 g/c m³ となるように圧縮し、室温で圧縮保持0 時間後における反発圧力、室温で圧縮保持20 時間後における反発圧力、1000 ℃の加熱下で圧縮保持20 時間経過後の反発圧力を、圧縮試験機(エー・アンド・デイ社製「RTC-1210 A」)を用いて測定した。さらに、それらの結果をもとに、1000 ℃の加熱下圧縮保持で10 年経過後の推定反発圧力を累乗近似式から算出した。それらの結果を表1 に示す。

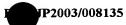
なお、表の保持材A~D欄に記載の反発圧力は次のとおりである。

A:室温下、各G. B. Dの圧縮保持で0時間経過した値

B:室温下、各G. B. Dの圧縮保持で20時間経過した値

C:1000℃の加熱下、各G. B. Dの圧縮保持で20時間経過した値

D:1000℃の加熱下、各G. B. Dの圧縮保持で10年間経過した推定値



**比較例2** 比較例1 5000 0 S 実施例3 0 0 വ 2 S 0 0 0 0 0 വ က 0 0 2 വ တ တ 6 0 実施例2 実施例1 8 (C/m i n) <u>ည</u> (m i n) <u>ව</u> (m/sec)(mm) (m1/hr) (C/min)(m/sec)(mPa·s) オキシ塩化アルミニウムの透過率 シリカゾルの透過率 (%) 炉前半部の昇温速度 炉後半部の最高温度 炉後半部の昇温速度 一孔あたりの供給量 炉前半部の最高温度 最高温度保持時間 中空円盤の周速 炉内風速 原液粘度 孔径 礟 担 巛 世

表1

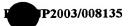


表 1 統ポー ]

			実施例1	実施例2	実施例3	比較例1	比較例2
	化学組成	アルミナ (質量%)	7.4	0 8	8 8	7 0	& 6
		シリカ (質量%)	26	2 0	1.4	3.0	2
	鉱物組成	ムライト (質量%)	3 5	3 0	2 5	4 0	1.0
典	比表面積	(m <sup>2</sup> /g)	2.8	3.0	3. 4	2. 5	37.2
穳_	<u> </u>	 無機質短繊維の平均繊維径 (μm)	2.9	3.0	3. 0	2.9	3. 2
存		繊維全本数の99%の繊維径範囲	1.8~	2. 2~	$2.0\sim$	$2.0\sim$	$2.0\sim$
	:	(mm)	8.9	9.3	9.3	9.5	9.4
	回収量	流量: 0. 50 (1/min)	8.0	8. 4	8. 1	8. 2	8. 1
	(質量%)	流量:1.38 (1/min)	0.54	09.0	0.62	0.65	0.41
		流量:5.54 (1/min)	0.01	0.01	0.01	0.01	0.01
	水中力サ比重	重?	0.0135	0.0150	0.0180	0.0125	0.0350



表1続き-2

i S										
						実施例1	実施例2	実施例3	比較例 1	比較例 2
			G.B.D=0. 15 (g/cm <sup>3</sup> )	1.5	(g/cm <sup>3</sup> )	5 0	4 8	4 0	0 9	2 0
		¥	G. B. D=0.	3 0	(g/cm <sup>3</sup> )	3 8 0	370	340	420	200
			G. B. D= 0.	4 5	(g/cm <sup>3</sup> )	910	006	870	960	099
-			G. B. D=0.	15	(g/cm <sup>3</sup> )	3.2	3 6	3.4	2 0	16
氓		മ.	G. B. D= 0.	3 0	(g/cm <sup>3</sup> )	315	3 2 5	330	2 1 0	170
柞			G. B. D= 0.	4 5	(g/cm <sup>3</sup> )	770	800	790	580	5 2 0
₽	反発圧力	L	G. B. D= 0.	15	15 (g/cm <sup>3</sup> )	24	2 8	26	ၑ	10
	(kPa)	ပ	C G. B. D=0.	3 0	(g/cm <sup>3</sup> )	2 2 5	250	240	2 0	0 9
			G. B. D= 0.	4 5	(g/cm <sup>3</sup> )	485	500	500	200	185
			G. B. D=0.	1 5	(g/cm <sup>3</sup> )	16	2 2	2 0		១
		9	G. B. D= 0.	3 0	30 (g/cm <sup>3</sup> )	160	205	210	1 8	2 3
			G. B. D= 0	4 5	(g/cm3)	305	355	340	7 0	0 9

## 実施例4、比較例3~5

透過率  $70\sim80$ %のオキシ塩化アルミニウム水溶液と透過率  $65\sim75$ %のシリカゾルを、アルミナ 80 質量%、シリカ 20 質量%となるように混合した以外は、実施例 1 と同条件で操作を行った。結果を表 2 に示す。

表2

1												
比較例 5	2 0	6 5				•				٠		
比較例4	0 8	6 5	5000	2 5	5 0	15	3	006	5	1250	2 5	2 0
比較例3	0 2	7 5	5 0	0.	2	1		6	7	1 2	2	2
実施例4	8 0	7 5										
	ムの透過率 (%)	(%	(mPa·s)	(mm)	(m/sec)	(m l /h r)	(m/sec)	(a)	(℃/m i n)	(2)	(℃/min)	(m i n)
	オキシ塩化アルミニウムの透過率 (%)	シリカゾルの透過率 (%)	原液粘度	孔径	中空円盤の周速	一孔あたりの供給量	炉内風速	炉前半部の最高温度	炉前半部の昇温速度	炉後半部の最高温度	炉後半部の昇温速度	最高温度保持時間
					獸	型	≪₩	年				

JP2003/008135

表 2 続きー 1

				実施例4	比較例3	比較例4	比較例 5
	化学組成	アルミナ	(質量%)	8 0	.0 8	0 &	0 8
		シリカ	(質量%)	2 0	2 0	2 0	2.0
	鉱物組成	174 F	(質量%)	3.0	2 0	2 0	1.0
	比表面積		$(m^2/g)$	3. 1	5.2	5.8	5.6
寒	無機質短	無機質短繊維の平均繊維径	裁維径 (μm)	3.6	3.2	3.5	3.0
馩	微維全本	機維全本数の99%の繊維径範囲	)繊維径範囲	1.8~	2.6~	1.5~	2.7~
#			(mm)	8.0	9.6	8. 1	9.6
	回収量	流量: 0.5	50 (1/min)	7.8	23.8	22.0	27.0
	(質量	流量: 1.3	38 (1/min)	0.46	8.75	8. 54	10.85
	%	流量:5.5	54 (1/min)	0.01	1.25	1.30	1.45
	水中カサ比重	比重		0.0125	0.0365	0.0375	0.0375

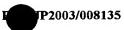
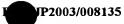


表2続き-2

						実施例4	比較例3	比較例4	比較例 5
		<del>- 9</del> -	G. B. D= 0.	1 5	15 (g/cm <sup>3</sup> )	44	1 8	16	1.4
			A G. B. D=0.	3 0	(g/cm <sup>3</sup> )	360	195	200	175
		ن	G. B. D= 0.	4 5	(g/cm <sup>3</sup> )	860	089	069	0 9 9
	<u> </u>		G. B. D= 0.	15	(g/cm <sup>3</sup> )	3.4	14	12	1 0
		<u>— —</u>	G. B. D= 0.	3 0	30 (g/cm <sup>3</sup> )	305	180	175	155
持 反発圧力	压力		G. B. D=0.	4 5	(g/cm <sup>3</sup> )	780	560	.555	535
林 (k)	(kPa)	<del> </del>	G. B. D= 0.	1.5	15 (g/cm <sup>3</sup> )	2.4	80	∞	80
<u>-</u>			G. B. D= 0.	3 0	30 (g/cm <sup>3</sup> )	230	4 0	4 3	3.0
			G. B. D= 0.	4 5	45 (g/cm <sup>3</sup> )	480	9 5	9 5	6 5
·	L		G. B. D= 0.	1.5	15 (g/cm <sup>3</sup> )	0.7	5	5	2
			D G. B. D=0.	3 0	30 (g/cm <sup>3</sup> )	180	2 0	2 0	1 6
			G. B. D= 0 .	4 5	45 (g/cm <sup>3</sup> )	300	2 5	2 5	2 0



## 実施例5~12、比較例6~13

透過率90%のオキシ塩化アルミニウム水溶液と透過率90%のシリカゾルを、アルミナ80質量%、シリカ20質量%となるように混合し、粘度300~2500mPa・s、孔の直径0.05~1.0mm、1孔あたりの供給量4~40m1/min、中空円盤の周速10~90m/secとした以外は、実施例1と同条件で操作を行った。結果を表3、表4に示す。

			1 1	414	1	1	0 100 -34-44	() ()	1 回转	中校例10
			実施例 5	米階例 6	米路包 /	来居约 8	天脳例ら	来配例 I U	<b>吳旭彻 1 1</b>	来 照 4 1 2
	オキシ塩化アルミニウムの透過率(%	多過率(%)			i	6	0 6			
	シリカゾルの透過率 (%)					6	0			
	原液粘度 (n	(mPa · s)	1000	8000	2000	5000	2000	5000	5000	5000
	孔径	(mm)	0.25	0.25	0.1	0.3	0.25	0.25	0.25	0.25
獸	中空円盤の周速	(m/sec)	5 0	5 0	2 0	5 0	2 0	2 0	3.0	8 0
担	一孔あたりの供給量	(m1/hr)	1.5	15	1.5	1.5	œ	2 0	15	1.5
⋘	炉内風速	(m∕sec)					3			
年	炉前半部の最高温度	(သူ)				6	0 0			
	炉前半部の昇温速度 (℃、	(C/m i n)			٠	<b>.</b>	5			
	が後半部の最高温度	(သ)				12	5 0			
	が を を を を の を は が で 、 で 、 で 、 、 、 、 、 、 、 、 、 、 、 、 、 、	(C/m i n)				2	5			
	最高温度保持時間	(m i n)				2	2 0			

2

0

 $\infty$ 

0

2

0

က

. ო

~\_

4

oj.

-

œ.

က

7

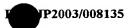
გ 4

0 1

က

<del>, - 1</del>

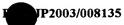
0



ა "

東施例 1 0 。 ö വ 奥施例11 9  $5\sim$ 0 1 0 0 S 2 0 0 0 0 2 ω 2 ი 0 ო 4. 8 。 。 တ o. 0 奥施例10  $\sim$  6 0 1 က ស 9  $^{\circ}$ 0 2 0 3 0  $\infty$ 8 0  $^{\circ}$ 0 ς. 。 。 ю . ဖ် တ် တ ö ໝ **∞** 東施例9 0 1 0 2 2 0 က 3 0 4 0 0 1 0 7 2  $\infty$ 。 0 ლ ä 7. 0 S ~ \_ 0 1 S 2 က 0 9 0 œ 実施例 0 0 0 2  $\infty$ 0 က 0 ლ Ġ. 2 о О 6 。 。 ö S 実施例7 2∼ 0 1 က  $\infty$ വ Н 0 'n 0 0 1 0 0  $\infty$ 2 က ď. œ. 。 0. 8 œ 0 വ ~9 വ 0 1 9 03 9 9  $\infty$ 実施例( 2 0 0 0 0 0 က . მ  $\infty$ · 0 0 щ . 4. 2 。 œ 0 ഹ ~ 0 1 ဖ 0 9 0  $\infty$ 実施例 4 0 0 1 0 0 . . 2 က  $\infty$ 0 。 8 œ 7 · (世世) (m m) (1/min) (1/min) (1/min) (質量%) (質量%) (質盘%)  $(m^2/g)$ 繊維全本数の99%の繊維径範囲 無機質短繊維の平均繊維径 အ လ 54 0 Ŋ 0 流量: 1. 2 ムライト アルミナ シリカ 班面 流湿 水中力步比重 化学組成 鉱物組成 比表面積 (質量%) 回収盘 寒 徴 存

3続か 表



奥施例12 215 0 0 0 0 0 0 0 0 ഹ 0 0 S 9 വ  $\infty$ 9 2 4 0 က က ∞ 奥施例1 വ ເດ വ 0 0 S 0 ഹ 0 0 0 0 22 47( 30 9 2 16 4 4 3 1 4 က က  $\infty$ 0 実施例1 ນ വ വ 0 0 Ŋ 0 0 0 0  $\infty$ 0 2 1 4 0 9 0 က Ŋ 9 4 က \_ 2 ស 0 വ 2 0 S 0 実施例 0 2 0 0 വ 2 9 0  $\infty$ ~ က 2 2 4 က က က 実施例8 4 0 0 വ വ ស သ S 2 0 8 4 0 4 9 2 9 <u>~</u> 0 0 4 က 8 œ က 0 ~ 実施例7 S 0 0 4 0 2 0 34 17 21 ស 7  $\infty$ 9 -က 7 0 വ 0 വ വ 0 ಬ ည 実施例( 0 2 8 0 47 S 0 က **~** 0 2 2 က 4 က 8 0 8 0 0 0 വ 0 0 0 実施例! 0 9 က 9 0 œ 0 4 က 2 2 က  $\infty$ က 0 4 က (g/cm³) (g/cm³) (g/cm³) (g/cm³) (g/cm³) (g/cm³) (g/cm³) (g/cm<sup>3</sup>) (g/cm³) (g/cm³) (g/cm³) (g/cm³) 1 5 3 0 1.5 3 0 30 4 5 15 4 5 45 15 4 5 0 D=0. G. B. D=0. G. B. D=0. G. B. D= 0. G. B. D=0. G. B. D= 0. G. B. D=0. G. B. D=0. G. B. (kPa) 反発圧力 硃 糀 ¥

表3続き-

 $\sim$ 

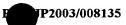
			比較例 6	比較例7	比較例8	比較例9	比較例10	比較例11	比較例12	比較例13
	オキシ塩化アルミニウムの透過率	(%) 歯児をつて				6	0			
	シリカゾルの透過率 (%)	(%)				6	. 0			
	原液粘度	(mPa·s)	300	25000	5000	5000	2000	5000	0005	2000
	孔径	(mm)	0.25	0.25	0.05	1.0	0.25	0.25	0.25	0.25
歐	中空円盤の周速	(m/sec)	4 0	4 0	4 0	4 0	4 0	4 0	1.0	0 6
担	一孔あたりの供給量	(m 1 / h r)	1.5	1.5	1.5	1.5	4	4 0	1.5	1.5
<b>«</b> ₩	炉内風速	(m/sec)					3			
弁	炉前半部の最高温度	(2)				6	0 0			
	炉前半部の昇温速度	(C/m i n)				1	5			
	炉後半部の最高温度	(Q)				1 2	2 0		`	
	炉後半部の昇温速度	(℃/m i n)				. 2	5			
	最高温度保持時間	(m i n)		-		2	0			
			-							

26  $\sim$  9 0 1 比較例1 0 4 9 4 8 0 0 0 N က ო ij ლ 4. 0 0 0 9 ~0 2 2 0 0 比較例1 9 0 0 0 2 വ 7. 0 6 œ 2 က щ. œ 比較例11 ~ 2 4 0 4 0 ນ 9 0 0 0 9 2 2 9 ლ 7. 9. 2 0  $\sim$  9 0 0 2 比較例1  $\infty$  $\infty$ ~ 0 0 0 0 9 ო œ 2 က ς. ij ო 。 ი 2  $3\sim$ 0 0 0 വ ro 0 **光較**例 2 0 0 0 0 വ 10. <u>.</u> 4. œ က ო 9 ∞ ∞ 0 4∼ 0 1 9 6 2 က 4 **光較**例 0 0 0 2  $\infty$ 0 က 2  $\ddot{-}$ 0 ю . ώ. · • 0 比較例7  $3\sim$ 0 0 ∞ വ വ  $\infty$ 0 0 0 4 ນ 4. 14. . წ  $\infty$ 2 က ო --. ∞ œ.  $\sim$ 0 0 တ 4 0 0 比較例( 0 0 0 Ó വ  $\infty$ 0 ᅼ က 2 ъ. Ω. S.  $(m^2/g)$ (質量%) (質盘%) (質量%) (mπ) (mm) (1/min) (1/min) 50 (1/min) 繊維全本数の99%の繊維径範囲 無機質短機維の平均機維径 အ လ 4 Ď アルミナ .: 0 流量: 1. ъ シリカ ムライ 流量 消量 比表面積 化学組成 鉱物組成 回収盘 無 覆 #

表4続き-1

P2003/008135
PF 2003/008133

**拓較例1** 210 7 1 0 0 9 2 0 വ 0 œ 0 မ 9 0 ∞ S -\_ Ŋ က S 0 **光較**倒 1 വ വ വ വ S 0 4 2 വ 0 21 0 2  $\infty$ 11 S Ŋ N 9 ~ က ស 比較例11 2 1 0 S 0 0 വ 0 œ 0 0 ນ S  $\infty$ 4 0  $\infty$ വ 2 \_ 9 2 က 0 比較例1 2 വ വ 0 9 2  $\infty$ 0 0 0 2 0 œ ~ 0 N  $\overline{\phantom{a}}$ Ч 2 က --比較例9 ល വ 0 2 0 5 6 9 0 24 2 σ G  $\infty$ ~ 2  $\infty$  $\boldsymbol{\dashv}$ Н က \_ 210 0 0  $\mathbf{c}$ 0 比較例 9 9 0 9 0 0 0 4 6  $\infty$ က 0 \_ -က 4 S വ വ 16  $\infty$ 4 0 0 6 2 0 ß G 6  $\infty$ 9  $\infty$ വ -2 -1 200 700 180 വ 2 0 比較例 1 8 10 2 0 0 0 S 9 ~  $\vdash$ 9 0 4 ເດ 5 (g/cm³) G. B. D=0. 15 (g/cm<sup>3</sup>) 15 (g/cm³) 15 (g/cm³) 30 (g/cm³) 4 5 (g/cm³) 3 0 (g/cm³) 30 (g/cm³) 1 5 (g/cm³) 4 5 (g/cm³) 4 5 (g/cm³) 3 0 (g/cm³) 4 G. B. D=0. G. B. D=0. G. B. D=0. G. B. D= 0. G. B. D=0. G. B. D=0. G. B. D=0. 6. B. D=0. G. B. D=0. G. B. D=0. G. B. D=0. Ω 反発圧力 (k P a) 氓 椛 女



実施例13~18、比較例14~19

透過率90%のオキシ塩化アルミニウム水溶液と透過率90%のシリカゾルとを、アルミナ80質量%、シリカ20質量%となるように混合し、連続炉前半部の焼成条件を、風速 $0\sim10\,\mathrm{m/s}$ ec、室温から $700\sim1100\,\mathrm{C}$ まで $5\sim30\,\mathrm{C/m}$ inで昇温した以外は、実施例1と同条件で操作を行った。結果を表5、表6に示す。

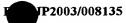


表5

			実施例13	実施例14	実施例15	実施例16	実施例17	実施例18
1 TV	オキシ塩化アルミニウムの透過率 (%)	ムの透過率 (%)			6	0 6		:
113	シリカゾルの透過率(	(%)			6	0 6		
<u> </u>	原液粘度	(mPa·s)			5 0	2000		
1 Pr	孔径	· (mm)			0.	2 5		
ш	中空円盤の周速	(m/sec)			2	5 0		
1 1	-孔あたりの供給量	(m l /h r)			1	1.5		
	炉内風速	(m∕s e c)	1	2	3	အ	3	3
- <del>2</del> -2	炉前半部の最高温度	(2)	006	006	8 0 0	1000	006	006
🔂	炉前半部の昇温速度	(℃/m i n)	1.5	1.5	1.5	15	1 0	2 0
***	が後半部の最高温度	(a)			1.2	250		
	炉後半部昇温速度	(℃/min)			2	. 5		
111111	最高温度保持時間	(m i n)			2	2 0		

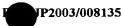


表5続き-1

ķ									
			411	実施例13	実施例14	実施例15	実施例16	実施例17	実施例18
	化学組成 アルミナ	アルミナ (質量%)	<u> </u>	8 0	8 0	0 &	8 0	8 0	0 8
		シリカ (質量%)	(%	2 0	2 0	2 0	2 0	2 0	2 0
	鉱物組成	ムライト (質量%)	(%	3 0	3 0	3.0	3 0	3 0	3 0
	比表面積	(m <sup>2</sup> /g)	(g)	3. 2	2.9	3.8	3. 1	3. 0	3.8
乗		無機質短繊維の平均繊維径 (μm)	m)	3. 1	3. 2	3. 2	3. 1	3. 0	3. 2
馩		無 繊維全本数の99%の繊維径範囲		$2. 0\sim$	$2.~2\sim$	$2.0\sim$	2.4~	1. 7~	2.2~
存		(mm)	m)	9.0	9.4	9. 2	9. 2	8.8	9.8
	回収量	流量: 0. 50 (1/min)	in)	8. 2	8.6	8. 2	8.6	8. 2	8.0
	(質量%)	流量:1.38 (1/min)	in)	0.58	0.61	0.64	0.64	0.75	0.60
		流量:5.54 (1/min)	ii)	0.01	0.01	0.01	0.01	0.01	0.01
	水中力サ比重	北重		0.0145	0.0150	0.0180	0.0150	0.0185	0.0190

0

0

0

4

0

 $\infty$ 

0

2

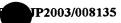
9

0

 $\infty$ 

0

9



0

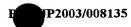
တ

2

വ

実施例1 4 2 က 2 2 2 4 က က  $\infty$ വ 2 0 വ 実施例 1 S  $\mathbf{S}$ 0 0 0  $\sim$ 0 2 \_  $\infty$  $\mathbf{c}$ ~ ~  $\sim$ 2 2 4 က 0 4 က က က  $\infty$ ~ 9 ស 0 വ S 0 実施例1 0 0 0 4 0 0 0  $\infty$ 0 0 9 က 7 က  $\infty$ 0 2 4 က က 2 က  $\infty$ വ 0 വ വ വ ഹ 0 0 0 2 0 4 0 実施例 က  $\infty$  $\vdash$ 4 6  $\vdash$ ~  $\infty$ 0 2 4 က က က  $\infty$ 2 4 -က 4 വ 0 S 0 0 വ S 0 4 4 2 9 実施例: 2 0 4 တ တ 2 9 6 4 က 2  $^{\circ}$ က က 2 4 က က 実施例1 ស വ 0 0 0 0 Ŋ 0 9 0 0 9 4 g 0 2 9 0 2 4 က 2 2 က တ က 2 2 က  $(g/cm^3)$  $(g/cm^3)$  $(g/cm^3)$  $(g/cm^3)$  $(g/cm^3)$  $(g/cm^3)$  $(g/cm^3)$ 30 (g/cm<sup>3</sup>)  $(g/cm^3)$  $(g/cm^3)$  $(g/cm^3)$  $(g/cm^3)$ 30 3 0 3 0 Ŋ വ ស ည വ വ വ ស 4 4 4  $\vdash$ 4 B. D=0. B. D=0. G. B. D= 0. B. D=0. G. B. D=0. G. B. D= 0. B. D=0. B. D=0. G. B. D=0. D=0. G. B. D=0 G. B. D=0 G. B. ى ن  $^{\circ}$ 反発圧力 (kPa) 氓 华 女

5 総か



			比較例14 比較例15		比較例16	比較例17	比較例18	比較例1.9
	オキシ塩化アルミニウムの透過率(%)	人の透過率 (%)				0 6		
	シリカゾルの透過率 (%)	%			3	0 6		
	原液粘度	(mPa·s)			2 (	5000		
	孔径	(mm)			0.	2 5		
翻	中空円盤の周速	(m/sec)				5 0		
担	一孔あたりの供給量	(m 1 / h r)				1 5		
₩	炉内風速	(m/sec)	0	1.0	3	3	3	က
年	- 炉前半部の最高温度	(2)	006	006	002	1100	006	006
	炉前半部の昇温速度	(C/m i n)	1.5	1.5	1 5	1.5	2	3.0
	炉後半部の最高温度	(2)			1	1250		
	炉後半部の昇温速度	(C/m i n)				2 5		
	最高温度保持時間	(m i n)				2 0		

茶

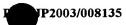
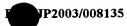


表 6 続きー 1

				比較例14	比較例15	比較例16	比較例17	比較例18	比較例 19
	化学組成	アルミナ	(質量%)	8 0		0 8			8 0
		シリカ	(質量%)	2 0	≇2006	2.0	連続炉前半	連続炉前半	2 0
	鉱物組成	ムライト	(質量%)	3 0	で連続炉前	3 0	部の炉長が	部の炉長が一部の炉長が	3 0
	比表面積		(m <sup>2</sup> /g)	14.3	半部の温度	39.6	足りないの	足りないの 足りないの	62.3
無		無機質短繊維の平均繊維径	(mm)	3. 1	があがらな	3. 0	で、製造中止	で、製造中止で、製造中止	3. 1
馩		繊維全本数の99%の繊維径範囲	径範囲	1.9~	いため、製	$2.0\sim$	<del>4</del> &	42	2.4~
存			(mm)	9.0	造中止する	9.4			9.8
	回収量	統量:0.50	(1/min)	25.8		8. 2			. 24. 2
	(質量%)	流量: 1.38	(1/min)	12.0		0.64			10.6
		流量:5.54	(1/min)	2.55		0.01			2.60
	水中为サ比重	重		0.0335	,	0.0380			0.0390

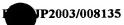
	比較例19	2 2	220	099	16	170	530	8	0 9	120	4	2 0	2 0
	比較例18 上						1						
	比較例17	1											
	比較例16	2 4	205	089	12	150	5 2 5	14	0 9	115	1 0	3 0	0 2
	比較例14 比較例15	ı											
:	比較例14	2.4	200	680	14	160	540	1.2	5 5	110	<sub>∞</sub>	2 2	0 9
		D=0. 15 (g/cm <sup>3</sup> )	D=0.30 (g/cm <sup>3</sup> )	$D=0.45 (g/cm^3)$	$D=0.15 (g/cm^3)$	D=0.30 (g/cm <sup>3</sup> )	$D=0.45 (g/cm^3)$	D=0. 15 (g/cm <sup>3</sup> )	D=0.30 (g/cm <sup>3</sup> )	(g/cm <sup>3</sup> )	$15 (g/cm^3)$	30 (g/cm <sup>3</sup> )	.D=0.45 (g/cm <sup>3</sup> )
		1.5	3 0	4 5	15	3 0	4 5	15	3 0	4 5	15	3 0	4 5
		G. B. D= 0.	G. B. D= 0.	G. B. D= 0.	G. B. D= 0.	G. B. D= 0.	G. B. D= 0.	G. B. D= 0 .	G. B. D= 0.	G. B. D= 0.	G. B. D= 0.	G. B. D= 0.	G. B. D= 0.
2			A			<u>m</u>			ပ			2	
表6続きー							反発圧力	(kPa)					
表						咪	粧	妆					

表6続き-



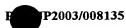
実施例19~24、比較例20~25

透過率90%のオキシ塩化アルミニウム水溶液と透過率90%のシリカゾルとを、アルミナ80質量%、シリカ20質量%となるように混合し、連続炉後半部の焼成条件を、最高温度1100 $\mathbb{C}$ ~1400 $\mathbb{C}$ まで10~40 $\mathbb{C}$ /minで昇温し、最高温度で5~60min保持した以外は、実施例1と同条件で操作を行った。結果を表7、表8に示す。



			実施例19 実施例20		実施例21	実施例22	実施例23	実施24
	オキシ塩化アルミニウムの透過率 (%)	70 逐過率 (%)			65	0 6		
1/15	シリカゾルの透過率 (%)	(%			0,	0 6		
凹	原液粘度	(mPa·s)			5 (	5000		
140	孔径	(mm)			0.	2 5		
數下中	中空円盤の周速	(m/sec)			u,	5 0		
<u> </u>	一孔あたりの供給量	(m l /h r)			,	1 5	:	
	炉内風速	(m∕s e c)				3		
年	炉前半部の最高温度	(2)			6	006		
*	炉前半部の昇温速度	(℃/m i n)				1 5	:	
-55	炉後半部の最高温度	(2)	1200	1300	1250	1250	1250	1250
-52	炉後半部の昇温速度	(C/m i n)	2 5	2 5	2 0	3.0	2.5	2 5
	最高温度保持時間	(m i n)	2 0	2 0	2 0	2 0	1.5	3 0

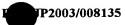
1/4



0  $2\sim$ 0 4 9  $\infty$ 2  $\infty$ 0 9 0 0 0 0 0 -矩點 က  $\infty$ S 0 · . د က တ  $\infty$ 0 0 വ က **~** ∠ 0 വ  $\infty$ 0 0 Н  $\sim$ ~ 0 0 0 0 実施例  $\infty$ 2 က . ზ 0 0 0 က  $\infty$  $\infty$ 0 0 2  $^{4}$ 9 വ 9 実施例2 2 --1 0 9 0 0 0 0 - $\infty$ 2 က 0 က က တ်  $\infty$ 0 0 0 വ Ŋ 0  $^{\circ}$ 0 2 0 0 0 0 ò 9 0 実施例 0  $\infty$ က ო ო 0 0 œ 2 6 0 0 0 0  $2^{\sim}$ 0 ~ 4 2 4 9 9 0 0 0 0 2 実施例 ო  $\infty$  $^{\circ}$ 9 2 0 0 . د 0 6  $\infty$ 0 က တ  $\sim$  0  $\infty$ က 0 2  $\infty$ Н വ 0 Ŋ 0 0 実施例: - $\infty$ 2 0 ຜ က 2  $\infty$ 0 。 6 0 (mm)(質量%) g) (mm)(1/min) (1/min) (質量%) (質量%)  $(m^2/\epsilon$ 繊維全本数の99%の繊維径範囲 無機質短繊維の平均繊維径 တ က 0 4 വ Ŋ · ムライト Ŋ シリカ 流量 流量 海軍 水中力サ比重 化学組成 (質量%) 鉱物組成 比表面積 回収量 無 馩 存

JP2003/008135

4 0 വ 0 0 0 0 0 0 4 2 9 0  $\infty$ တ 2 9 2 0 4  $\infty$  $\boldsymbol{\vdash}$ 実施 2 2 2 က Š 4 က  $\infty$ 9 က က  $\mathbf{c}$ S 0 S 0 വ 2 വ 0 0 0 2 0 実施例  $\infty$  $\vdash$ വ ~ **~** 7 <del>--</del>i 0 2 က က 0 4 က က  $\infty$  $\sim$ 2 0  $\mathbf{r}$ വ 0 実施例2 0 വ 0 0 4 0 0 0 4  $\infty$ 0 9 ~  $\vdash$ က  $\infty$ က 2 3 4 က 2 က  $\infty$ വ S S വ വ 0 0 0 0 0 0 4 0 実施例! က  $\infty$ O  $\vdash$ 4 6 \_  $\sim$ က 2 せ က 2 က က  $\infty$ <u>~</u> 4 0 S വ Ŋ 2 വ 0 S 0 0 2 4 3 0 実施例! -1 4 ~ 0 2 വ ~ တ 0 0 4 က 4 2 က  $\infty$ က 2 က တ 実施例1 0 0 S Ŋ വ 0 Ŋ 0 0 0 0 0 0 0 Н  $\infty$ ~ 2 တ  $\vdash$ വ က က  $\sim$ വ က 4 တ က 2  $(g/cm^3)$  $(g/cm^3)$  $(g/cm^3)$  $(g/cm^3)$ 30 (g/cm<sup>3</sup>)  $(g/cm^3)$ 30 (g/cm<sup>3</sup>)  $(g/cm^3)$  $(g/cm^3)$  $(g/cm^3)$  $(g/cm^3)$  $(g/cm^3)$ G. B. D=0. 30 B. D=0. 30 വ ည വ വ G. B. D=0. 15 വ വ ro 4 4 4 G. B. D=0. 1 Н 4  $\vdash$ G. B. D=0. D=0. G. B. D=0. G. B. D=0. B. D=0. D=0. G. B. D=0 G. B. D= 0 മ്പ് മ് ۍ  $\sim$ 反発圧力 (kPa) 吆 址 ×



比較例25										1250	2 5	0 9
比較例24										1250	25.	က
比較例23	0 6	0 6	5000	2 5	5 0	1 5	3	006	1 5	1250	4 0	2 0
比較例22		O,	5 (	0.			•	6		1250	0.7	2 0
比較例20 比較例21								:		1400	2 5	2 0
比較例20										1100	2 5	2 0
	ミニウムの透過率 (%)	(%)	(mPa·s)	(mm)	(m/sec)	(m l /h r)	(m/sec)	(a)	(℃/m l n)	(2)	(℃/m i n)	(m i n)
	オキシ塩化アルミニウ	シリカゾルの透過率 (%)	原液粘度	孔径	中空円盤の周速	一孔あたりの供給量	炉内風速	炉前半部の最高温度	炉前半部の昇温速度	炉後半部の最高温度	炉後半部の昇温速度	最高温度保持時間
					製_	担	<b>※</b>	#				

贵8

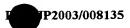


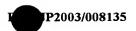
表8続き-1

			比較(	比較例20	比較例21	比較例22	比較例23	比較例24	比較例25
	化学組成	アルミナ (質量%)	_	0 8	8 0				
		シリカ (質量%)		2 0	2 0	連続炉後半	集積体の厚	集積体の厚	連続炉後半
	鉱物組成	ムライト (質量%)		0	7 0	部の炉長が	部の炉長が、み方向に、ムタ方向に、ム部の炉長が	み方向に、ム	部の炉長が
	比表面積	. (m <sup>2</sup> /g)	5 4.	. 3	2. 4	足りないの	足りないのライト結晶	ライト結晶	足りないの
粜			3.	7	3. 0	で、製造中止	で、製造中止 化度のバラ 化度のバラ	化度のバラ	で、製造中止
積	繊維全本数	繊維全本数の99%の繊維径範囲	<u> </u>	~ 6	1.8~	なる	ツキが顕著 ツキが顕著	ツキが顕著	<del>با</del> ا
存		(m π)		0	9. 2		なため、測定なため、測定	なため、測定	
	回収量	流量: 0.50 (1/min)	n) 7.	∞	7.8		₩ ₩	<b>ዀ</b>	
	(質量%)	流量:1.38 (1/min)	n) 0.	2 0	0.50				
		統量:5.54 (1/min)	n) 0.	0 1	0.01				
	水中力サ比重	二重	0.0	0110	0.0375				

P2003/008135

表8続き-2

						比較例20	比較例21	比較例20 比較例21 比較例22	比較例23	比較例24	比較例25
			G. B. D=0.	1 5	0. 15 (g/cm <sup>3</sup> )	0 9	2.2				
		¥	G. B. D=	3 0	0.30 (g/cm <sup>3</sup> )	4 3 5	200				
			G. B. D= 0.	4 5	0. 45 (g/cm <sup>3</sup> )	970	685				
			G. B. D= 0.	1 5	0. 15 (g/cm <sup>3</sup> )	2 2	16				
		<u> </u>	G. B. D=	3 0	0.30 (g/cm <sup>3</sup> )	260	185				
	反発圧力		G. B. D= 0.	4 5	0. 45 (g/cm <sup>3</sup> )	540	260	i	i	l	i
华	(kPa)		G. B. D= 0.	1 5	0. 15 (g/cm <sup>3</sup> )	1 0	1.2				
本		ပ	C G. B. D= 0.	3 0	0.30 (g/cm <sup>3</sup> )	5 0	2 0				
			G. B. D=0.	4 5	0. 45 (g/cm <sup>3</sup> )	110	100				
			G. B. D= 0.	1 5	0. 15 (g/cm <sup>3</sup> )	∞ .	9				
		9	G. B. D=0.	3 0	30 (g/cm <sup>3</sup> )	2 0	2 2				
			G. B. D= 0.	4 5	0. 45 (g/cm <sup>3</sup> )	0 9	5 4				



上記の表1~表8より、本発明の実施例の集積体とそれを用いて製造された保持材は、比較例と比べて、排気ガスによる耐風蝕性にも優れることがわかる。また、室温での圧縮保持で20時間経過後はもとより、1000℃加熱下で圧縮保持20時間経過後の反発圧力低下の抑制効果が大きく(繊維劣化が小さい)なることがわかる。さらに、1000℃加熱下で圧縮保持10年経過後の推定反発圧力を比べてみると、比較例では繊維劣化により、ほとんど反発圧力を有していない(ハニカムを十分な反発圧力を持って保持することができず、その部分から排気ガスがリークする恐れがある)のに対し、本発明の保持材は、反発圧力低下の抑制効果が大きいことがわかる。

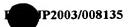
## 産業上の利用可能性

本発明によれば、1000℃程度の加熱下で長期の圧縮保持でも繊維劣化の小さい集積体と、それを用いた触媒コンバータの触媒担体の保持材や、DPFのハニカムの保持材等が提供される。また、本発明の集積体の製造方法によれば、上記特性を有する集積体を容易に製造することができる。



### 請 求 の 範 囲

- 1. 無機質短繊維の集積体であって、その比表面積が $10\text{m}^2$  / g以下であり、かつその99%以上(100%を含む)の本数が繊維径 $1.5\sim15\mu$ mの無機質短繊維からなり、しかも該無機質短繊維の化学組成がアルミナ成分 $74\sim86$  質量%で、シリカ成分 $26\sim14$ 質量%であり、鉱物組成がムライト $15\sim60$  質量%であり、平均繊維径が $2\sim8\mu$ mであることを特徴とする保持材用無機質 短繊維集積体。
- 2.集積体50gを直径80mm×深さ150mmのステンレス製円筒容器に入れ、その上面から圧力をかけていき、20MPaに達したら解放して、圧砕された無機質短繊維集積体の水簸分級を行ったときに、回収される繊維等の固形物が、水の流量0.501/minのときが10質量%以下、流量1.381/minのときが5質量%以下、流量5.541/minのときが1質量%以下である請求項1に記載の保持材用無機質短繊維集積体。
- 3.集積体 5 gを 4 0 0 m l の水中で、1 0 0 0 r pmで 1 0 m i n 攪拌した後、5 0 0 m l のメスシリンダーに移し、水を追加して全容積を 5 0 0 m l にしてから 3 0 分間静置し、その沈降容積から求めた、繊維強度の指標である水中力サ比重が 0 . 0 1 2  $\sim$  0 . 0 2 5 である請求項 1 又は 2 に記載の保持材用無機質短繊維集積体。
- 4. 透過率80%以上のオキシ塩化アルミニウム水溶液と、透過率75%以上のシリカゾルと、紡糸助剤とを混合して、アルミナ:シリカの質量比が74~86%:26~14%(両者の合計100%)で、粘度が1000~8000mPa・sの紡糸原液を調製し、これを円周面に直径0.10~0.30mmの孔を複数個設けられてなる中空円盤から、該中空円盤を周速30~80m/secで回転させつつ、紡糸原液を1孔あたり8~20ml/hrで供給・吐出させて繊維化し、それを乾燥・集積・焼成することを特徴とする請求項1、2又は3に記載の保持材用無機質短繊維集積体の製造方法。
- 5. 焼成が、連続炉を用い、その前半部において、炉内の風速が $1\sim5\,\mathrm{m/s}$  e c の条件下で、室温から $800\sim1000$ ℃まで $10\sim20\,\mathrm{C/m}$  i nで昇温した後、続けて連続炉の後半部において、最高温度 $1200\sim1300\,\mathrm{C}$ まで20



~30℃/minで昇温し、最高温度で15~30分間保持して行うものである 請求項4に記載の保持材用無機質短繊維集積体の製造方法。

43

- 6. 請求項1、2又は3に記載の保持材用無機質短繊維集積体の空隙部に、有機質パインダーを含有させたシート状成形体からなることを特徴とする保持材。
- 7. 保持材が、自動車排気ガス浄化用触媒コンバータの触媒担体の固定用保持材 、又はディーゼルパティキュレートフィルタ用ハニカム体の固定用保持材である 請求項6に記載の保持材。

# INTERNATIONAL SEARCH REPORT

International application No.
PCT/JP03/08135

A. CLASS	IFICATION OF SUBJECT MATTER C1 D04H1/42, D04H1/72, D01F9/0	08, F01N3/28			
According to	International Patent Classification (IPC) or to both nati	ional classification and IPC			
B. FIELDS	SEARCHED				
Minimum do	cumentation searched (classification system followed by	y classification symbols)			
	Cl <sup>7</sup> D04H1/00-18/00, D01F1/00-13				
Jitsu Kokai	ion searched other than minimum documentation to the ayo Shinan Koho 1926–1996 Jitsuyo Shinan Koho 1971–2003	Toroku Jitsuyo Shinan Koho Jitsuyo Shinan Toroku Koho	1994-2003 1996-2003		
Electronic da WPIL	ata base consulted during the international search (name D04H1/42, F01N3/28	of data base and, where practicable, sear	rch terms used)		
C. DOCUM	MENTS CONSIDERED TO BE RELEVANT				
Category*	Citation of document, with indication, where app	propriate, of the relevant passages	Relevant to claim No.		
Y	JP 2002-506166 A (Unifrax Con	rp.),	1,6,7		
	26 February, 2002 (26.02.02), Full text; Figs. 1 to 7				
	& WO 99/046028 A1 & EP	1062019 A			
Y					
_	Kaisha), 26 March, 1999 (26.03.99),				
	Full text; Fig. 1				
}	(Family: none)				
A	JP 60-88162 A (Mitsubishi Ch	emical Industries	1-7		
	Ltd.),				
1	17 May, 1985 (17.05.85), Full text				
	(Family: none)				
× Furth	er documents are listed in the continuation of Box C.	See patent family annex.			
* Special	d categories of cited documents: tent defining the general state of the art which is not	"T" later document published after the inte priority date and not in conflict with t	he application but cited to		
conside	"A" document defining the general state of the art which is not priority date and not in conflict with the application but cited to considered to be of particular relevance understand the principle or theory underlying the invention cannot "K" earlier document but with the application but cited to understand the principle or theory underlying the invention cannot "K" document of particular relevance; the claimed invention cannot				
date "L" docum	"E" earlier document but published on or after the international filing date "L" document which may throw doubts on priority claim(s) or which is "L" document which may throw doubts on priority claim(s) or which is "E" document which may throw doubts on priority claim(s) or which is				
cited to	o establish the publication date of another citation or other I reason (as specified)	"Y" document of particular relevance; the considered to involve an inventive ste	p when the document is		
"O" docum	nent referring to an oral disclosure, use, exhibition or other	combined with one or more other such	n skilled in the art		
"P" docum	nent published prior to the international filing date but later the priority date claimed	"&" document member of the same patent			
Date of the	actual completion of the international search September, 2003 (03.09.03)	Date of mailing of the international sear 16 September, 2003	rch report (16.09.03)		
	nailing address of the ISA/	Authorized officer			
	anese Patent Office				
Facsimile N	lo.	Telephone No.	•		



International application No.
PCT/JP03/08135

		Relevant to claim No.
Category*	Citation of document, with indication, where appropriate, of the relevant passages	Relevant to claim No.
A	JP 61-194132 A (Isolite Babcock Taika Kabushiki Kaisha), 28 August, 1986 (28.08.86), Claims; page 3, lower right column, lines 1 to 19; page 5, lower right column, line 1 to page 6, lower left column, line 4 (Family: none)	1-/
A	JP 62-139841 A (Toyota Motor Corp.), 23 June, 1987 (23.06.87), Claims; page 3, lower right column, line 6 to page 4, upper left column, line 7; page 4, lower right column, lines 3 to 16 (Family: none)	. 1-7
A	JP 62-231019 A (Ibiden Co., Ltd.), 09 October, 1987 (09.10.87), Full text; Figs. 1 to 2 (Family: none)	1-7
. <b>A</b>	JP 7-286514 A (Mitsubishi Chemical Corp.), 31 October, 1995 (31.10.95), Full text (Family: none)	1-7
A	WO 02/33233 A1 (Ibiden Co., Ltd.), 25 April, 2002 (25.04.02), Full text; Figs. 1 to 4 & JP 2002-129455 A	1-7
		·
	•	·
	·	



#### 国際調査報告

## 国際出願番号 PCT/JP03/08135

	まする分野の分類(国際特許分類(I P C)) D 0 4 H 1 / 4 2, D 0 4 H 1 / 7 2, D 0 1 F	79/08, F01N3/28	
n ==++.4	2 - J- /\ M7		
B. 調査を行	「つだ分野 と小限資料(国際特許分類(IPC))	· · · · · · · · · · · · · · · · · · ·	
	D04H1/00-18/00		
	D01F1/00-13/04		
	F01N3/00-3/38	•	
El Lac Market D. A.	I wild will be a company of the comp		
	トの資料で調査を行った分野に含まれるもの		
	案公報 1926-1996年 用新案公報 1971-2003年		
	用新案公報 1994-2003年		
	案登録公報 1996-2003年		
国際調査で使用	目した電子データベース (データベースの名称、)04H1/42 F01N3/28	調査に使用した用語)	
WIID	,04H1,42 101H0,20		
		·	<del></del>
	ると認められる文献	·	関連する
引用文献の カテゴリー*	・ 引用文献名 及び一部の箇所が関連すると	・まけ その関連する箇所の表示	調求の範囲の番号
Y	JP 2002-506166 A (ユニフラックス		1, 6, 7
	2002.02.26,全文,第1-7図 & WO	99/046028 A1 &	
	EP 1062019 A		
		1.	
Y	JP 11-82006 A(電気化学工業株式会	社)1999.03.26,全文,第1凶	1, 6, 7
	(ファミリーなし)		
A	JP 60-88162 A (三菱化成工業株式会	社)1985.05.17,全文	1 - 7
	(ファミリーなし)		
			<u> </u>
X C欄の続き	きにも文献が列挙されている。	□ パテントファミリーに関する別	紙を参照。
* 引用文献の		の日の後に公表された文献 「T」国際出願日又は優先日後に公表:	とかたかねった。ナ
IA」特に関連   もの	車のある文献ではなく、一般的技術水準を示す	出願と矛盾するものではなく、	
	<b>顔日前の出願または特許であるが、国際出願日</b>	の理解のために引用するもの	とりプルイン
	公表されたもの	「X」特に関連のある文献であって、	当該文献のみで発明
「L」優先権主	主張に疑義を提起する文献又は他の文献の発行	の新規性又は進歩性がないと考え	
	くは他の特別な理由を確立するために引用する	「Y」特に関連のある文献であって、	
	里由を付す)	上の文献との、当業者にとって	
	よる開示、使用、展示等に言及する文献 顔日前で、かつ優先権の主張の基礎となる出願	よって進歩性がないと考えられ 「&」同一パテントファミリー文献	၁ ၆//
	関ロ的で、から変元権の主張の基礎となる山嶼	「後」同一パックトックスが	<u> </u>
国際調査を完了	了した日	国際調査報告の発送日 16.0	9.03
	03.09.03	10.0	U
En philater - La leis rain		dente de la companya del companya de la companya del companya de la companya de l	10 200
	の名称及びあて先	特許庁審査官(権限のある職員)	45 2932
	国特許庁 (ISA/JP) 邸便番号100-8915	山崎 利直 (山自   山崎 利直 (山自	5)
	卸千代田区霞が関三丁目4番3号	電話番号 03-3581-1101	7 内線 3472



## 国際出願番号 PCT/JP03/08135

#### 国際調査報告

		<del></del>
C (続き).	関連すると認められる文献	関連する
引用文献の カテゴリー*	引用文献名 及び一部の箇所が関連するときは、その関連する箇所の表示	請求の範囲の番号
Α .	JP 61-194132 A (イソライト・バブコツク耐火株式会社) 1986.08.28, 特許請求の範囲,第3頁右下欄第1-19行,第5頁右下欄 第1行〜第6頁左下欄第4行 (ファミリーなし)	1-7
A	JP 62-139841 A(トヨタ自動車株式会社)1987.06.23, 特許請求の範囲,第3頁右下欄第6行〜第4頁左上欄第7行,第4頁右 下欄第3-16行(ファミリーなし)	. 1-7
A	JP 62-231019 A (イビデン株式会社) 1987.10.09, 全文, 第1-2図 (ファミリーなし)	1-7
<b>A</b>	JP 7-286514 A(三菱化学株式会社)1995.10.31, 全文 (ファミリーなし)	1-7
A .	WO 02/33233 A1 (イビデン株式会社) 2002.04.25,全文,第1-4図 & JP 2002-129455 A	1-7
	<u> </u>	<u> </u>